



بررسی تأثیر موقعیت و وضعیت هندسی بازشو در مقاومت کمانشی تیرورق‌های سوراخ‌دار با سخت‌کننده دلتا تحت تأثیر نیروی برشی

سلیمان قوهستانی^{۱*}، مهرداد شیری^۲

۱- استادیار، دانشکده فنی و مهندسی، بخش عمران، دانشگاه فسا، فسا

۲- کارشناسی ارشد عمران، دانشگاه آزاد اسلامی واحد بوشهر، بوشهر

* فسا، صندوق پستی ۷۴۶۱۶-۸۶۱۳۱

(تاریخ دریافت: ۱۳۹۷/۰۶/۱۰، تاریخ پذیرش: ۱۳۹۷/۱۱/۱۴)

چکیده

امروزه استفاده از تیرورق‌ها در انواع مختلف سازه‌های ساختمانی گستره وسیعی را به خود اختصاص داده است. یکی از انواع این تیرورق‌ها، تیرورق‌های با سخت‌کننده دلتا می‌باشد؛ که تحقیقات صورت گرفته حاکی از عملکرد بهتر این نوع تیرورق در ظرفیت‌های خمی و برشی نسبت به سایر تیرورق‌های معمولی با مقاطع معادل است. تعییه سوراخ‌های جان به منظور ایجاد فضایی برای سرویس، بازدید و یا عبور لوله‌های بزرگ امری اجتناب‌ناپذیر در تیرورق‌ها می‌باشد. در این پژوهش با استفاده از نرم‌افزار ANSYS v.12 و با مدل‌سازی و ایجاد سوراخ در جان تیرورق دلتا و در نظر گرفتن پارامترهای مؤثر بر مقاومت برشی کمانشی تیرورق دلتای سوراخ‌دار، رفتارهای سازه‌ای آن‌ها بررسی شده و محدوده بهینه ایجاد سوراخ و بهترین شکل سوراخ از میان انواع رایج آن معرفی گردیده است. در این بررسی، بهترین محدوده اجرای سوراخ بین ۰.۳۰ الی ۰.۳۵ طول تیر و بهینه پارامتر (بدون بعد) ارتفاع مؤثر (نسبت قطر دایره به فاصله اتصال سخت‌کننده‌ها در محل برخورد با جان تا بال تختانی مقطع) در محدوده ۰.۲۶ الی ۰.۲۷ به دست آمده است. همچنین رابطه مقاومت کمانشی نسبت به تغییر قطر بازشو به صورت خطی بوده و توسط یک رابطه بیان شده است. در بین شکل‌های بررسی شده با سطوح بازشو برابر (مربع، دایره و مثلث) بازشو مربعی شکل، دارای مقاومت برشی کمانشی بیشتری نسبت به سایر شکل‌ها می‌باشد.

واژگان کلیدی

تیرورق، سخت‌کننده دلتا، سوراخ‌دار، کمانش برشی

Study the Effect of Opening Position and Shape on Shear Buckling Strength of Perforated Steel Plate Girder with Delta Stiffeners under Shear Force

S. Ghouhestani, M. Shiri

Abstract

Nowadays, the use of plate girder in different kinds of structures has been increased. One of these is plate girder with delta stiffener. Investigations have shown that the bending and shearing behavior of plate girder with delta stiffener are better than usual plate girder with uniform sections. Preparing web openings to make space for service, inspection and passing the big pipes is unavoidable in plate girders. In this study, employing ANSYS v.12 software, the modeling of hole in the web of plate girder was done and the effective parameters on shear buckling strength of perforated steel plate girder was considered to study the structural behavior and optimum range for Preparation of web hole and the best form of ordinary kinds of hole. The results show that, the best web performance location is between 0.30 until 0.35 of length, optimum of effective height parameter (ratio of hole diameter to distance of stiffener connection from intersection at web to the bottom flange) is between 0.26 until 0.27, and there is a linear behavior between shear buckling strength versus changes in hole diameter of opening which is presented by an equation. The comparison between different opening shape with equal surface (square, circle and triangle) indicates that the square opening has the priority in buckling shear strength in comparison with other shapes.

Keywords

Plate girder, Delta stiffener, Perforated, Shear buckling

۱- مقدمه

نشان دهنده آن است که در صورت استفاده از سخت کننده های مایل (دلتا) با اتصال به بال و جان، باعث پایداری بیشتر در برابر بارهای وارده و جلوگیری از کمانش بال و جان تیرورق گردیده و همچنین از کمانش پیچشی جانبی مقطع جلوگیری می نماید [۴ و ۵]. مطابق با تحقیقات صورت گرفته توسط Arabzade و Kaheh، استفاده از سخت کننده دلتا مقاومت کمانشی را تا ۶۰٪ نسبت به پائل سخت شده با سخت کننده طولی افزایش می دهد [۶].

نتایج حاصل از تحلیل های صورت گرفته توسط Shahabian و Ghouhestani نشان دهنده کاهش مقاومت تا میزان ۵۰ درصد در تیرورق های دارای بازشوی مدور می باشد. بررسی های انجام شده توسط این محققین حاکی از آن است که در صورت افزایش صلیبت نسبی بال (نسبت ضخامت بالها به ضخامت جان تیرورق) تا ۳۰ درصد کاهش به وجود آمده را می توان جبران نمود [۷].

Erfani و Jafari Sahnehsaraei [۸] به بررسی رفتار کمانش الاستیک تیرورق های دلتا پرداخته اند. در این پژوهش آنها با مدل سازی تیرورق در دو حالت با سخت کننده طولی و سخت کننده دلتا به بررسی رفتار این نوع تیرورق ها تحت تأثیر خم ش پرداخته اند. نتایج بیانگر آن است که این نوع سخت کننده ها تأثیر چندانی بر مقدار مقاومت کمانشی تیرورق تحت اثر خم ش ندارند. در پژوهشی دیگر Mohebkhah و همکارانش [۹] در سال ۲۰۱۴ اقدام به بررسی کمانش پیچشی جانبی تیرورق های دلتا تحت اثر خم ش نمودند. آنها با مقایسه نتایج تحلیل عددی با ضوابط آینین نامه AISC-LRFD [۱۰] به این نتیجه رسیدند که منحنی مقاومت خم شی بیان شده توسط آینین نامه در حالت غیر الاستیک غیر محافظه کارانه است. از این رو رابطه جایگزینی توسط آنها ارائه گردید.

Sweetlin و همکارانش [۱۱] در سال ۲۰۱۷ اقدام به ارزیابی رفتار برشی تیرورق دلتا در دو حالت دارای سخت کننده جان و بدون سخت کننده جان نمودند. آنها با مدل سازی عددی یک تیرورق با شرایط تکیه گاهی ساده تحت اثر بار متغیر، تأثیر پارامترهای نقش هندسی و سخت کننده بر مقاومت برشی تیرورق دلتا را بررسی کردند. Hatami و Esmaeili [۱۲] در سال ۲۰۱۳ در پژوهشی مقدار بهینه ارتفاع در تیرورق دلتا را ارائه کردند. در این پژوهش با استفاده از نرم افزار ABAQUS مقدار بار بحرانی کمانش تیرورق با سخت کننده دلتا تحت تأثیر نیروی برشی و لنگر خم شی محاسبه شده است. آنها با تحلیل عددی، تأثیر تغییر موقعیت بار و ضخامت سخت کننده، بر مقاومت

تیرورق به تیری گفته می شود که عناصر آن به منظور تأمین کارایی بهتر از نیمرخ های نورد شده از ورق ساخته شود. تیرورق ها به طور معمول از دو ورق بال و یک ورق جان تشکیل می شوند که به منظور های خاص سخت کننده هایی به صورت عرضی یا طولی در جان آنها تعییه می شود. در نوع دیگر تیرورق به منظور افزایش مقاومت پیچشی بال، از دو ورق مایل استفاده می کند که به این نوع تیرورق، تیرورق دلتا می گویند.

یکی از مهم ترین مراحل در طراحی تیرورق ها بررسی پایداری و مقاومت کمانشی تیرورق ها در برابر نیروهای برشی است. با توجه به لزوم تعییه بازشو های بزرگ در جان تیرورق در بسیاری از سازه ها اهمیت بررسی مقاومت کمانشی تحت اثر نیروی برشی در این نوع تیرورق ها بسیار ضروری به نظر می رسد.

در این پژوهش برای محاسبه مقاومت کمانشی برشی تیرورق ها از نرم افزار ANSYS v.12 استفاده شده است [۱]. به منظور صحبت سنجی نتایج تحلیل، میزان سازگاری نتایج آنالیز المان محدود با نتایج آزمایش های موجود مورد بررسی قرار گرفته است.

در ادامه با انجام تحلیل های پارامتری و با بررسی حالت های مختلف و در نظر گرفتن پارامترهای مؤثر بر مقاومت برشی کمانشی، محدوده بهینه آنها ارائه شده است. در این خصوص، در بخش های بعد بهترین محدوده اجرای سوراخ، بهینه پارامتر ارتفاع مؤثر سوراخ، رابطه مقاومت کمانشی نسبت به تغییر قطر بازشو و مقاومت بین بازشو های دارای سطوح برابر با شکل های هندسی متفاوت (مربع، دایره و مثلث) بررسی شده است.

۲- سابقه و پیشینه تحقیقات و نتایج ارائه شده

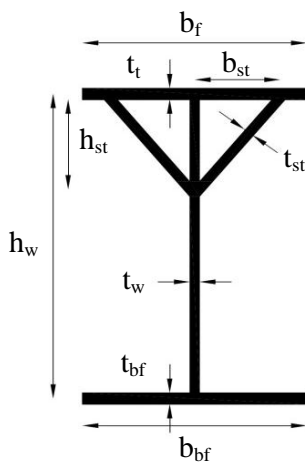
در مورد بررسی رفتار مقاطع دلتا از زمان ارائه ایده ساخت و به کار گیری آن تاکنون، تحقیقات محدودی و علی الخصوص آزمایش های عملی بسیار اندک و حتی منحصر به فرد صورت گرفته است.

مطابق با آزمایش های صورت گرفته توسط HOMER و HADLEY با همکاری AISC در سال ۱۹۶۱، مشخص شد که این نوع مقاطع مقاومت خم شی، پایداری جانبی و سختی پیچشی بهتری نسبت به مقاطع معمول I شکل دارد [۲ و ۳].

بررسی های صورت گرفته توسط Varmazyari و Arabzade جهت بهبود سختی و پایداری جانبی تیرورق های فولادی،



مصالح معرفی شده و نوع رفتار ماده نیز الاستوپلاستیک کامل در نظر گرفته شده است. برای مدل سازی بهتر و سرعت بیشتر انجام تحلیل، از شرایط مرزی موجود در نرم افزار برای ایجاد تقارن و در نتیجه مدل سازی نصف طول تیر، استفاده شده است. شبکه بنده مدل به گونه ای انجام گرفته که دقت حل در حد مطلوب بوده و از طرفی حجم و زمان عملیات تحلیل بهینه باشد. شرایط مرزی لبه های تیرورق به صورت دو سر گیردار معرفی می شود. برای تخمین دقت شبکه بنده در مدل ارائه شده (تحت تأثیر برش خالص) و به منظور اطمینان از صحت نتایج، بر روی یک تیرورق نمونه مطابق شکل (۲) با مشخصات مندرج در جدول (۱) پس از مدل سازی با شبکه بنده های مختلف آنالیز کمانشی صورت گرفته است. نتایج تحلیل در جدول (۲) ارائه شده است.



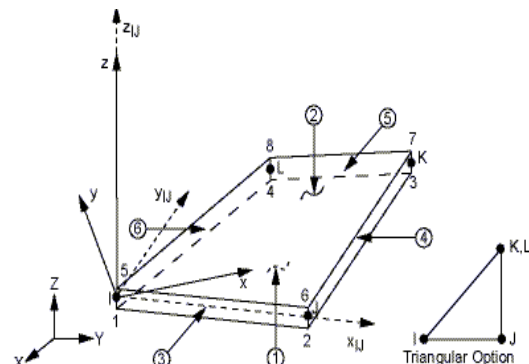
شکل ۲- مقطع تیرورق دلتا

همان طور که در ردیف چهارم جدول (۲) مشخص است همگرایی لازم بین تیپ IV و III شبکه بنده فراهم گردیده است؛ و نتایج تحلیل و آزمایش دارای سازگاری مناسبی می باشد؛ بنابراین از شبکه بنده 32×32 برای جان و 8×32 برای بال به عنوان شبکه بنده مناسب در تحلیل این نوع تیرورقها استفاده شده است.

برشی تیرورق دلتا را بررسی کردند. نتایج بررسی آنها نشان می دهد افزایش ضخامت جان تا درصد معینی از ارتفاع جان تیرورق، باعث بهینه شدن وزن تیرورق و مقاومت کمانشی بحرانی آن می گردد.

۳- معرفی مدل عددی و بررسی دقت تحلیل کمانشی نرم افزار

روش المان محدود یک روش عددی قوی و کارآمد است که برای حل مسائل گوناگون با هندسه و شرایط مرزی متفاوت در علوم مهندسی مورد استفاده قرار می گیرد. به همین منظور جهت مقایسه و بررسی صحت نتایج حاصل از مدل سازی کامپیوتری، از نرم افزار ANSYS v.12 استفاده شده است. تیرورق دلتا به نحوی که تشریح گردیده است، مدل سازی شده و نتایج حاصل از تحلیل اجزاء محدود با گزارش های آزمایشگاهی مقایسه شده است. جان و بال ها و سخت کننده ها توسط المان های پوسته چهار گره ای الاستیک برای آنالیز کمانشی مدل شده اند. در شکل (۱) هندسه این نوع المان ها با استفاده از 63 SHELL در نرم افزار ANSYS نشان داده شده است. برای بررسی بیشتر در خصوص درجات آزادی و سایر مشخصه های این المان می توان به مرجع [۱] مراجعه کرد.



شکل ۱- هندسه المان SHELL63 در نرم افزار ANSYS [۱]

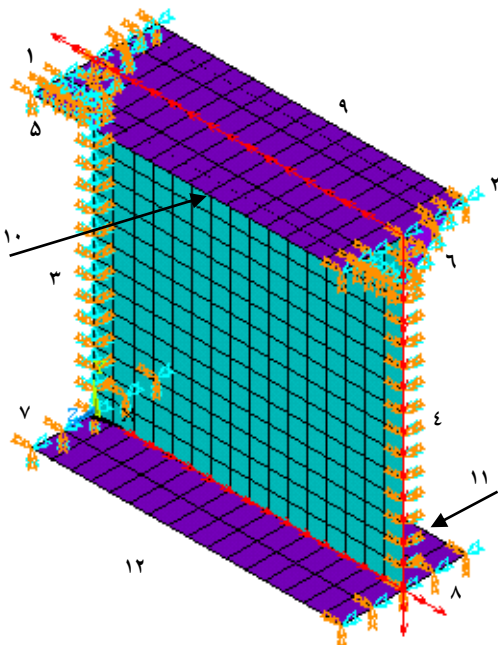
در تحلیل مدل ایجاد شده، از تحلیل کمانشی مقادیر ویژه بهره گرفته شده است. مشخصات مکانیکی فولاد St37 برای

جدول ۱- مشخصات تیرورق دلتا نمونه آزمایشی [۲]

برش کمانشی	مشخصات مکانیکی	سخت کننده دلتا (cm)			بال پایین (cm)		بال بالا (cm)		جان (cm)		طول (m)	
V_{cr} (MN)	ν	E (GPa)	t_{st}	b_{st}	h_{st}	t_{bf}	b_{bf}	t_{tf}	b_{tf}	t_w	h_w	L
۱/۱۱۲	۰/۳	۲۰۰	۰/۶۳۵	۱۷/۸	۲۲/۹	۰/۶۳۵	۴۱	۰/۶۳۵	۶۱	۰/۶۳۵	۹۱/۴	۶/۲۰

جدول ۲- تأثیر شبکه‌بندی بر مقاومت کمانشی برشی تیرورق دلتا

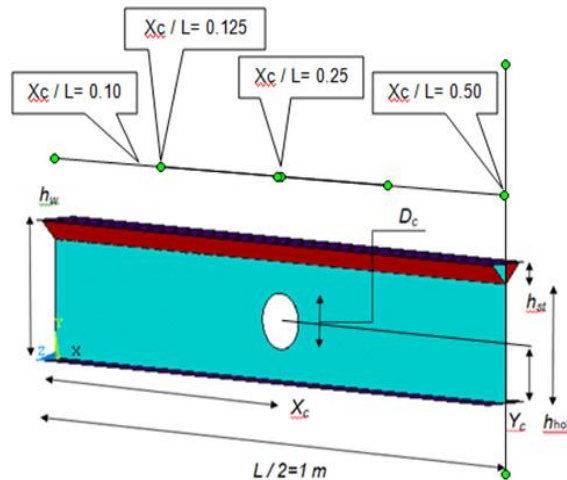
تیپ	I	II	III	IV
شبکه‌بندی بال	۴×۴	۴×۴	۸×۱۶	۸×۳۲
شبکه‌بندی جان	۴×۴	۸×۸	۱۶×۱۶	۳۲×۳۲
مقاومت برشی (MN)	۰/۹۷	۱/۰۲	۱/۰۶	۱/۱۳



شکل ۴- شرایط مرزی و بارگذاری اعمال شده برای مدل سه بعدی

۴- تعریف مسئله و روش تحلیل

با توجه به مطابقت قابل قبول نتایج تحلیل کمانشی در نرم‌افزار ANSYS با نتایج آزمایشگاهی، در ادامه مدل‌های اصلی با ایجاد سوراخ در جان تیرورق دلتا ایجاد شده است. در این پژوهش با بررسی حالت‌های گوناگون و در نظر گرفتن پارامترهای مؤثر بر مقاومت برشی کمانشی تیرورق دلتای سوراخ‌دار رفتارهای سازه‌ای آن‌ها بررسی شده و محدوده بهینه آن‌ها ارائه گردیده است. شکل (۲) موقعیت مکانی پارامترهای تعریف شده برای نصف طول تیرورق را در طول یک تیرورق متقاضان که دارای دو بازشو می‌باشد، را نشان می‌دهد.



شکل ۳- موقعیت مکانی پارامترهای تعریف شده برای نصف طول تیرورق (تیرورق متقاضان می‌باشد).

برخی مشخصات مقاطع که در طول تحلیل ثابت باقی مانده و برای تمام مدل‌ها یکسان می‌باشد در جدول (۲) نشان داده شده است و از ذکر مجرد به جهت جلوگیری از افزایش پارامترها در جداول‌های بعدی خودداری گردیده است.

شرایط مرزی لبه‌های تیرورق همان‌طور که در شکل (۴) نشان داده شده است، در جدول (۴) معرفی می‌شود. در این جدول α و γ درجهات آزادی انتقالی و θ_x ، θ_y و θ_z درجهات آزادی دورانی حول محورهای x ، y و z می‌باشند. عدد صفر بیانگر آزاد بودن و عدد یک بیانگر مقید بودن درجه آزادی است.

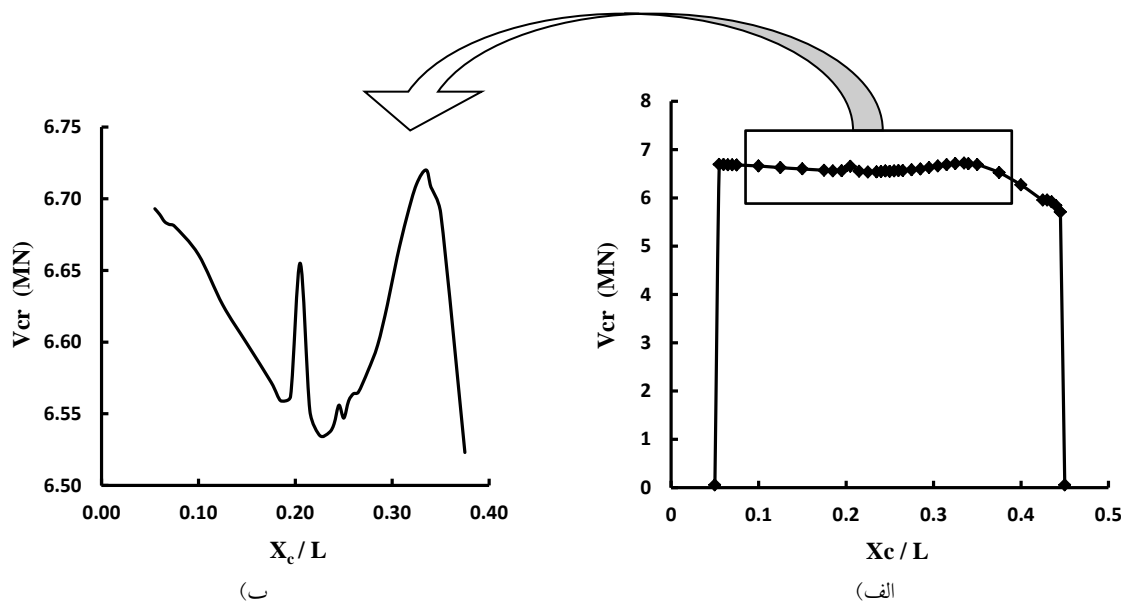


جدول ۳- مشخصات ثابت برای تمام مقاطع تیرورق‌های دلتای مدل‌سازی شده

مشخصات مکانیکی		سخت کننده دلتا (cm)	بال بالا و پایین (cm)	جان (cm)	طول (m)
ν	E (GPa)	b_{st}	b_f	h_w	L
۰/۳	۲۰۰	۱۵	۴۰	۱۰۰	۲۰۰

جدول ۴- شرایط مرزی اعمال شده برای مدل سه بعدی در شکل (۴)

θ_z	θ_y	θ_x	w	v	u	شماره لبه تیرورق
۰	۰	۰	۱	۱	۰	لبه بال بالا سمت چپ ۱
۱	۱	۱	۱	۰	۱	لبه بال بالا سمت راست ۲
۱	۱	۱	۱	۱	۱	لبه جان سمت چپ ۳
۱	۱	۰	۰	۱	۱	لبه جان سمت راست ۴
۰	۰	۰	۱	۱	۰	لبه سخت کننده بالا سمت چپ ۵
۱	۱	۱	۱	۰	۱	لبه سخت کننده بالا سمت راست ۶
۰	۰	۰	۱	۱	۰	لبه بال پایین سمت چپ ۷
۱	۱	۱	۱	۰	۱	لبه بال پایین سمت راست ۸
۰	۰	۰	۰	۰	۰	لبهای آزاد بال پایین و بال ۹، ۱۰، ۱۱ و ۱۲



شکل ۵- (الف) مقاومت کمانش برشی بر اساس پارامتر موقعیت طولی سوراخ، (ب) بزرگنمایی نقاط اوج

۲-۵- تعیین پارامتر ارتفاع مؤثر سوراخ (D_c/h_{hol}) بهینه

نسبت قطر دایره به فاصله اتصال سخت کننده‌ها در محل برخورد با جان تا بال تحتانی مقاطع (D_c/h_{hol}) پارامتر ارتفاع مؤثر سوراخ نامیده شده است. با توجه به بررسی صورت گرفته، جهت بررسی در خصوص پارامتر ارتفاع مؤثر سوراخ با

در ادامه شکل (۶) و (۷) مربوط به تحلیل و نحوه توزیع تنش در برخی مدل‌ها آمده است. در این خصوص نحوه توزیع تنش به صورت قطعی در جان تیرورق که مورد انتظار می‌باشد؛ و توجه به موقعیت طولی مرکز بازشو و جابجایی سوراخ در طول تیر نشان داده شده است.

سوراخ بر حسب مقاومت برشی کمانشی در شکل (۸) ترسیم شده است. با بررسی شکل (۸) ملاحظه می‌گردد که بهینه پارامتر ارتفاع مؤثر سوراخ یعنی نسبت قطر دایره به فاصله اتصال سخت‌کننده‌ها در محل برخورد با جان تا بال تحاتانی مقطع یا (D_c/h_{hol}) در محدوده ۰/۲۶ الی ۰/۲۷ قرار دارد.

۳-۵-بررسی میزان تغییرات کاهش مقاومت نسبت به افزایش قطر سوراخ

جهت بررسی این موضوع، بر روی یک مقطع با موقعیت مکانی ثابت (یا بنا به عبارت تعریف شده، پارامتر موقعیت طولی سوراخ)، با تغییر قطر سوراخ میزان تغییر مقاومت کمانشی برشی تیورق محاسبه شده است. مشابه روش تحلیل در بخش قبل، این مسئله برای دو مقطع و با پارامتر موقعیت طولی سوراخ برابر با ۱۲/۵ و ۲۵ درصد از طول تیر انجام شده است.

نتیجه‌ها برای پارامتر موقعیت طولی سوراخ برابر با ۲۵ درصد در جدول (۶) تنظیم گردیده است. برای حالت‌های با موقعیت طولی دیگر نیز نتیجه‌ها در جدولی مشابه جدول (۶) به دست آمده است.

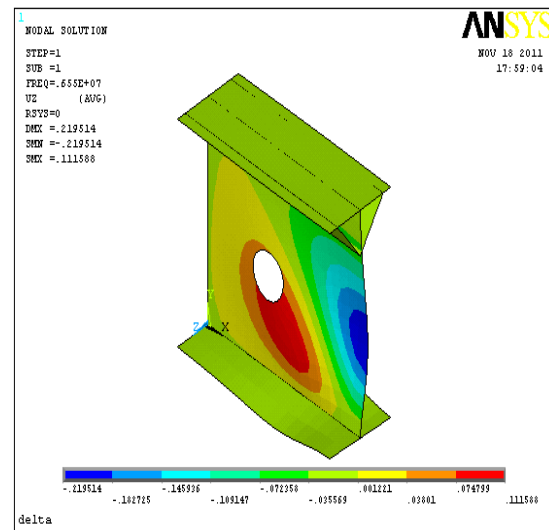
مقاومت برشی کمانشی مقطع مفروض، بدون در نظر گرفتن سوراخ جان و بر اساس آینه نامه فولاد ایران برابر با $V_0 = 70277 \times 10^7 \text{ MN}$ به دست آمده است. در نتیجه نسبت مقاومت برشی مقاطع دارای بازشو نسبت به حالت مقطع بدون بازشو با تقسیم مقادیر جدول (۶) بر V_0 میزان نسبی کاهش مقاومت را در هر حالت مشخص می‌کند.

با توجه به داده‌های حاصل از تحلیل در جدول (۶) و سایر نتیجه‌ها برای موقعیت‌های طولی دیگر و محاسبه نسبت آن‌ها به V_0 ، منحنی تغییرات پارامتر ارتفاع مؤثر سوراخ بر حسب مقاومت برشی کمانشی نسبی، در شکل (۹) ترسیم شده است.

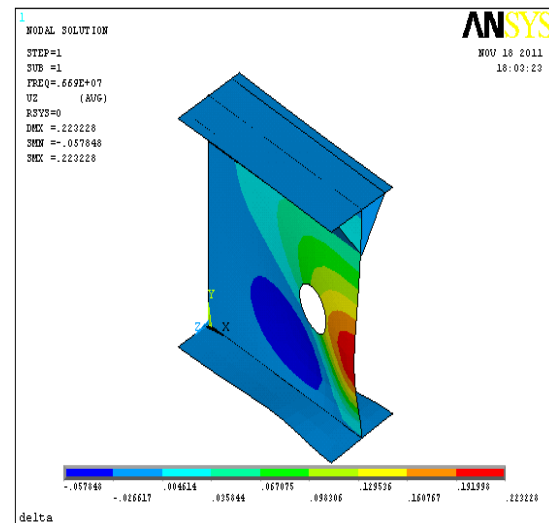
با بررسی شکل (۹) ملاحظه می‌گردد که نحوه تغییر نسبت مقاومت برشی کمانشی تیورق دلتای سوراخ دار به مقاومت برشی کمانشی تیورق دلتای بدون سوراخ (V_{cr}/V_0) در برابر پارامتر ارتفاع مؤثر سوراخ (D_c/h_{hol} ، با دقت بسیار خوب به صورت خطی می‌باشد. در این خصوص رابطه (۱) بین پارامترهای معرفی شده به صورت زیر پیشنهاد شده است.

$$V_{cr}/V_0 = -0.38 \times (D_c/h_{hol}) + 1 \quad (1)$$

این رابطه بیانگر صحت و ارزشمندی پارامتر معرفی شده با عنوان "پارامتر ارتفاع مؤثر سوراخ (D_c/h_{hol})" می‌باشد. نکته حائز اهمیت این است که این پارامتر دارای رابطه‌ای مشخص با یکی از معیارهای مقاومتی مقطع (V_{cr}/V_0) می‌باشد.



شکل ۶-توزيع نش به صورت قطری در جان تیورق ($X_c/L = 0/2$)



شکل ۷-توزيع نش به صورت قطری در جان تیورق ($X_c/L = 0/3$)

در نظر گرفتن مقاطع مشابه بخش قبل و فقط با تغییر در مقدار پارامتر ارتفاع مؤثر سوراخ و در محدوده ۱۰ الی ۳۵ درصد طول تیر، مقاومت کمانشی برشی در هر مورد با تحلیل و استفاده از نرم‌افزار به دست آمده است.

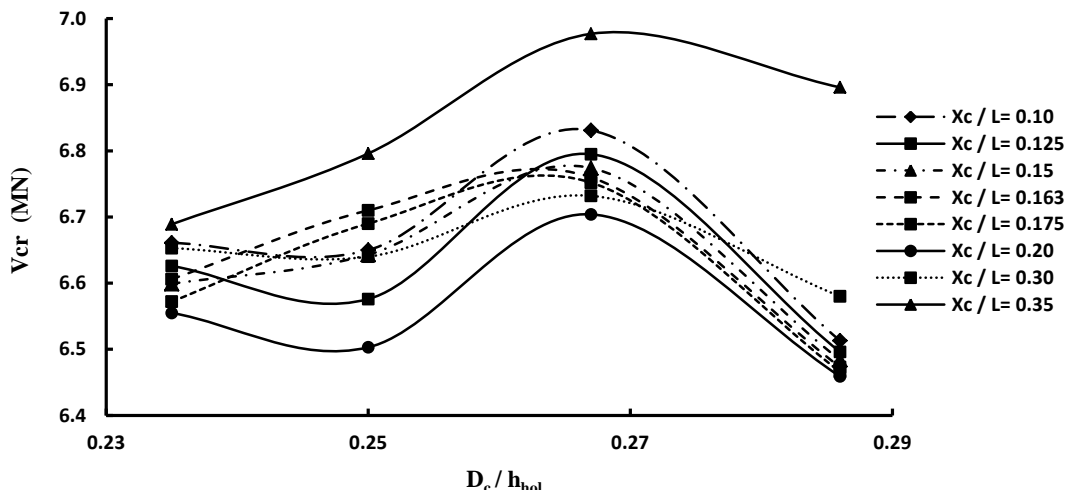
این مسئله برای هشت مقطع و با پارامتر موقعیت طولی سوراخ برابر با ۱۰، ۱۲/۵، ۱۵، ۱۷/۵، ۱۶/۳، ۱۵، ۲۰، ۲۵ و ۳۰ درصد از طول تیر انجام شده است. نتایج برای پارامتر موقعیت طولی سوراخ برابر با ۰/۲۰ در جدول (۵) تنظیم گردیده است.

برای سایر حالات‌ها با موقعیت‌های طولی دیگر، نتایج در جدول‌هایی مشابه جدول (۵) ارائه شده است. با توجه به داده‌های حاصل از تحلیل در جدول (۵) و سایر نتایج برای موقعیت‌های طولی دیگر، منحنی تغییرات پارامتر ارتفاع مؤثر



جدول ۵- مشخصات تیرورق‌های دلتای مدل‌سازی شده برای $X_c/L = 0/2$

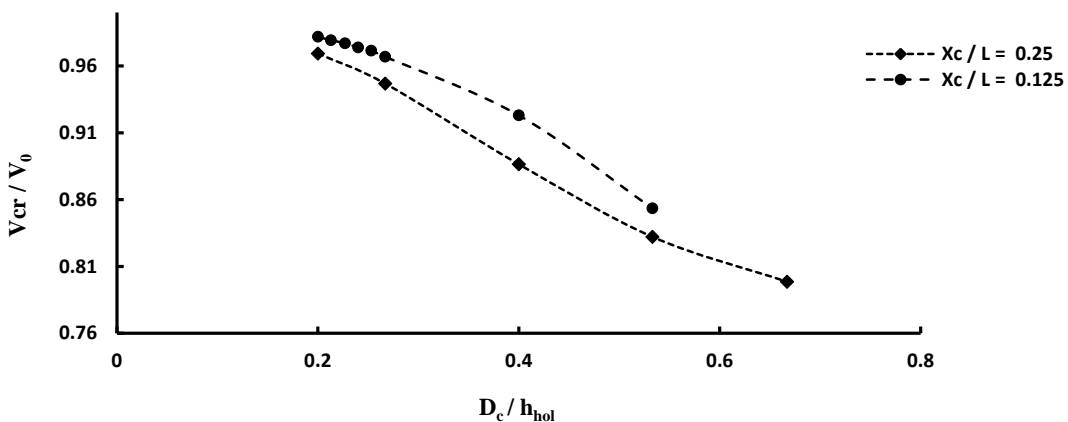
برش کمانشی (MN)	پارامتر ارتفاع مؤثر سوراخ	پارامتر ارتفاع	پارامتر ضخامت	مشخصات سوراخ و محل موقعیت طولی (cm)			مشخصات سخت‌کننده دلتا (cm)		مشخصات بال بالا و پایین (cm)	مشخصات جان (cm)	نام مقطع
V_{cr}	D_c/h_{hol}	h_{st}/h_w	t_{st}/t_w	D_c	Y_c	X_c	t_{st}	h_{st}	t_f	t_w	بازشو دایره‌ای شکل
۶/۵۵۵	۰/۲۳۵	۰/۱۵	۱	۲۰	۴۲/۵	۴۰	۱	۱۵	۱	۱	DPGC135
۶/۵۰۳	۰/۲۵	۰/۲۰	۱	۲۰	۴۰	۴۰	۱	۲۰	۱	۱	DPGC136
۶/۷۰۴	۰/۲۶۷	۰/۲۵	۱	۲۰	۳۷/۵	۴۰	۱	۲۵	۱	۱	DPGC137
۶/۴۵۹	۰/۲۸۶	۰/۳۰	۱	۲۰	۳۵	۴۰	۱	۳۰	۱	۱	DPGC138



شکل ۸- مقاومت کمانش برشی بر اساس پارامتر ارتفاع مؤثر سوراخ

جدول ۶- مشخصات تیرورق‌های دلتای مدل‌سازی شده برای $X_c/L = ۰/۲۵$

برش کمانشی (MN)	پارامتر ارتفاع مؤثر سوراخ	پارامتر ارتفاع	پارامتر ضخامت	مشخصات سوراخ و محل موقعیت طولی (cm)			مشخصات سخت‌کننده دلتا (cm)		مشخصات بال بالا و پایین (cm)	مشخصات جان (cm)	نام مقطع
V_{cr}	D_c/h_{hol}	h_{st}/h_w	t_{st}/t_w	D_c	Y_c	X_c	t_{st}	h_{st}	t_f	t_w	بازشو دایره‌ای شکل
۶/۸۱۲	۰/۲۰۰	۰/۲۵	۱	۱۵	۳۷/۵	۵۰	۱	۲۵	۱	۱	DPGC111
۶/۶۵۴	۰/۲۶۷	۰/۲۵	۱	۲۰	۳۷/۵	۵۰	۱	۲۵	۱	۱	DPGC112
۶/۲۳۰	۰/۴۰۰	۰/۲۵	۱	۳۰	۳۷/۵	۵۰	۱	۲۵	۱	۱	DPGC113
۵/۸۴۸	۰/۵۳۳	۰/۲۵	۱	۴۰	۳۷/۵	۵۰	۱	۲۵	۱	۱	DPGC114
۵/۶۱۲	۰/۶۷۷	۰/۲۵	۱	۵۰	۳۷/۵	۵۰	۱	۲۵	۱	۱	DPGC115



شکل ۹- مقاومت کمانش برپی بر اساس پارامتر ارتفاع مؤثر سوراخ

از تحلیل را ارائه می‌نمایند. در شکل (۱۰) با توجه به جدول‌های (۸) تا (۱۰) متغیرهای پارامتر ارتفاع مؤثر بازشو برای شکل‌های با مساحت برابر نسبت به تغییرات مقاومت برپی کمانشی ترسیم شده است. با توجه به شکل (۱۰) مشاهده می‌گردد که به ترتیب بازشوهای مربع، دایره و مثلث شکل از لحاظ مقاومت کمانشی در اولویت قرار دارند.

شکل (۱۱) جهت مقایسه بصری این شکل‌ها با مساحت برابر ارائه شده است. همان گونه که دیده می‌شود به دلیل ارتفاع بیشتر بازشو به ترتیب در مثلث، دایره و مربع کاهش مقاومت برپی کمانشی V_{cr} توجیه پیدا می‌کند.

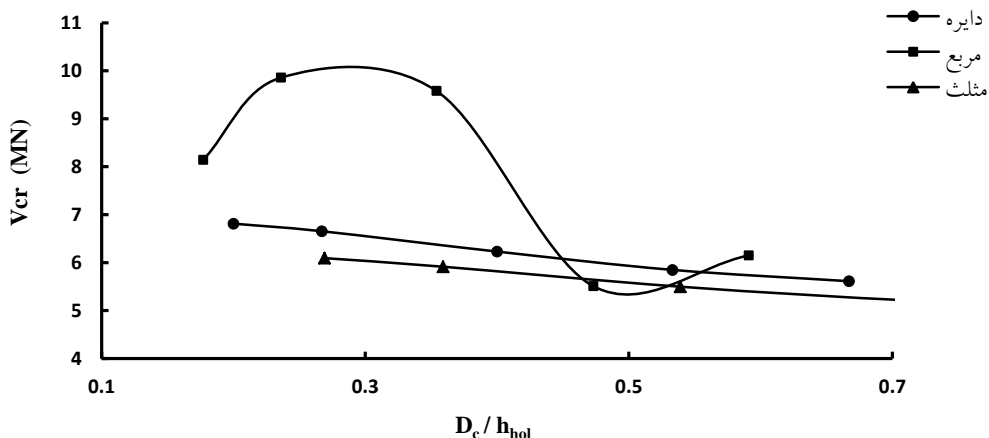
۴-۵- بررسی و مقایسه تأثیر شکل سوراخ بر مقاومت کمانشی برپی

در این بخش ابتدا برای بازشوهای دایره‌ای شکل مدل شده مطابق با جدول (۷)، اندازه ضلع مربع (D_s) و اندازه ضلع مثلث متساوی‌الاضلاع (D_t) هم مساحت با آن محاسبه شده است. سپس با استفاده از نرم‌افزار ANSYS، به بررسی تغییرات مقاومت کمانشی برپی در سه نوع متفاوت از شکل بازشو پرداخته شده است.

در ادامه جدول‌های (۸) تا (۱۰) برای سه شکل متفاوت مورد نظر، مطابق با پارامترهای در نظر گرفته شده، نتایج حاصل

جدول ۷- بازشوهای با مساحت معادل در شکل‌های متفاوت

قطر بازشو دایره‌ای شکل (D_c) (cm)	مساحت بازشو (cm^2)	بعد بازشو مربع شکل (D_s) (cm)	بعد بازشو مثلث متساوی‌الاضلاع (D_t) (cm)
۵۰	۴۰	۳۰	۲۰
۱۹۶۲/۵	۱۲۵۶	۷۰۶/۵	۳۱۴
۴۴/۳۰	۳۵/۴۴	۲۶/۵۸	۱۷/۷۲
۶۷/۳۲	۵۳/۸۶	۴۰/۳۹	۲۶/۹۳



شکل ۱۰- مقاومت کمانشی برپی با توجه به شکل هندسی بازشو با استفاده از جدول (۸)



جدول ۸- مشخصات تیرورق‌های دلتای مدل‌سازی شده با بازشو دایره‌ای برای $X_c/L = 0/25$

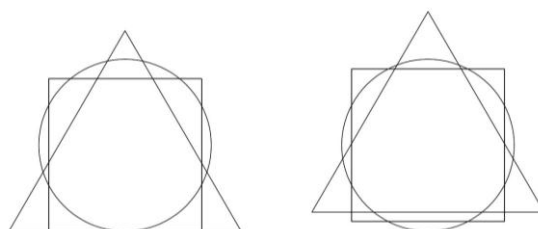
برش کمانشی (MN)	پارامتر ارتفاع مؤثر سوراخ	پارامتر ارتفاع	پارامتر ضخامت	مشخصات سوراخ و محل موقعیت طولی (cm)	مشخصات سخت‌کننده دلتا (cm)	مشخصات بال بالا و پایین (cm)	مشخصات جان (cm)	مشخصات جان (cm)	نام مقطع		
V_{cr}	D_c/h_{hol}	h_{st}/h_w	t_{st}/t_w	D_c	Y_c	X_c	t_{st}	h_{st}	t_f	t_w	
۷/۸۱۲	۰/۲۰۰	۰/۲۵	۱	۱۵	۳۷/۵	۵۰	۱	۲۵	۱	۱	DPGC111
۷/۶۵۴	۰/۲۶۷	۰/۲۵	۱	۲۰	۳۷/۵	۵۰	۱	۲۵	۱	۱	DPGC112
۷/۲۳۰	۰/۴۰۰	۰/۲۵	۱	۳۰	۳۷/۵	۵۰	۱	۲۵	۱	۱	DPGC113
۵/۸۴۸	۰/۵۳۳	۰/۲۵	۱	۴۰	۳۷/۵	۵۰	۱	۲۵	۱	۱	DPGC114
۵/۶۱۲	۰/۶۷۷	۰/۲۵	۱	۵۰	۳۷/۵	۵۰	۱	۲۵	۱	۱	DPGC115

جدول ۹- مشخصات تیرورق‌های دلتای مدل‌سازی شده با بازشو مربعی برای $X_c/L = 0/25$

برش کمانشی (MN)	پارامتر ارتفاع مؤثر سوراخ	پارامتر ارتفاع	پارامتر ضخامت	مشخصات سوراخ و محل موقعیت طولی (cm)	مشخصات سخت‌کننده دلتا (cm)	مشخصات بال بالا و پایین (cm)	مشخصات جان (cm)	مشخصات جان (cm)	نام مقطع		
V_{cr}	D_s/h_{hol}	h_{st}/h_w	t_{st}/t_w	D_s	Y_s	X_s	t_{st}	h_{st}	t_f	t_w	
۸/۱۴۲	۰/۱۷۷	۰/۲۵	۱	۱۳/۳	۳۷/۵	۵۰	۱	۲۵	۱	۱	DPGS96
۹/۸۵۷	۰/۲۳۶	۰/۲۵	۱	۱۷/۷	۳۷/۵	۵۰	۱	۲۵	۱	۱	DPGS97
۹/۵۸۰	۰/۳۵۴	۰/۲۵	۱	۲۶/۶	۳۷/۵	۵۰	۱	۲۵	۱	۱	DPGS98
۵/۵۰۹	۰/۴۷۳	۰/۲۵	۱	۳۵/۴	۳۷/۵	۵۰	۱	۲۵	۱	۱	DPGS99
۷/۱۵۰	۰/۵۹۱	۰/۲۵	۱	۴۴/۳	۳۷/۵	۵۰	۱	۲۵	۱	۱	DPGS100

جدول ۱۰- مشخصات تیرورق‌های دلتای مدل‌سازی شده با بازشو مثلثی برای $X_c/L = 0/25$

برش کمانشی (MN)	پارامتر ارتفاع مؤثر سوراخ	پارامتر ارتفاع	پارامتر ضخامت	مشخصات سوراخ و محل موقعیت طولی (cm)	مشخصات سخت‌کننده دلتا (cm)	مشخصات بال بالا و پایین (cm)	مشخصات جان (cm)	مشخصات جان (cm)	نام مقطع		
V_{cr}	D_c/h_{hol}	h_{st}/h_w	t_{st}/t_w	D_c	Y_c	X_c	t_{st}	h_{st}	t_f	t_w	
۷/۰۹۳	۰/۲۶۹	۰/۲۵	۱	۲۰/۲	۳۷/۵	۵۰	۱	۲۵	۱	۱	DPGT201
۵/۹۱۴	۰/۳۵۹	۰/۲۵	۱	۲۶/۹	۳۷/۵	۵۰	۱	۲۵	۱	۱	DPGT202
۵/۴۹۷	۰/۵۳۹	۰/۲۵	۱	۴۰/۴	۳۷/۵	۵۰	۱	۲۵	۱	۱	DPGT203
۵/۲۰۲	۰/۷۱۹	۰/۲۵	۱	۵۳/۹	۳۷/۵	۵۰	۱	۲۵	۱	۱	DPGT204
۵/۰۲۹	۰/۸۹۷	۰/۲۵	۱	۶۷/۳	۳۷/۵	۵۰	۱	۲۵	۱	۱	DPGT205



شکل ۱۱- مقایسه شکل‌های هندسی با مساحت برابر

نشریه علمی و پژوهشی سازه و فولاد / ۱۴



- [8] Jafari Sahneharaei, M. and Erfani, S. (2014), "Analysis of Elastic Buckling Behavior of Steel Delta Girders", International Journal of Engineering and Technology, Vol. 3, pp. 372–377.
- [9] Mohebkah, A. and G. Azandariani, M. (2014), "Lateral-Torsional Buckling of Delta Hollow Fange Beams under Moment Gradient", Thin-Walled Structures, Vol. 86, pp. 167–173.
- [10] AISC 360-16., (2016), Specification for structural steel buildings. Chicago, IL: American Institute of Steel Construction.
- [11] Sweetlin, R., Annlin, J. and Ramalingam, D. (2017), "Shear Behavior of Delta Hollow Flange Beam with and without Web Stiffener", International Journal of Science and Technology, Vol. 5, pp. 157–169.
- [12] Hatami, F. and Esmaili, N. (2013), "Optimization of Height at Delta Stiffened in Steel Girders by Numerical Modeling", Journal of American Science, Vol. 9, pp. 1–5.

۶- نتیجه گیری

مطابق با بررسی‌های انجام شده جمع‌بندی کلی نتیجه‌های حاصل از آنالیز عددی مقاومت برشی کمانشی تیرورق‌های دلتای دارای سوراخ در جان را، برای حالت‌ها و پارامترهای در نظر گرفته شده، به طور خلاصه به صورت زیر می‌توان بیان نمود.

- با در نظر گرفتن مسائل اجرایی می‌توان گفت بهترین محدوده اجرای سوراخ برای پارامتر موقعیت طولی سوراخ (X_c/L)، در محدوده $0/30$ الی $0/35$ است.
- بهینه پارامتر ارتفاع مؤثر سوراخ یعنی نسبت قطر دایره به فاصله اتصال سخت‌کننده‌ها در محل برخورد با جان تا بال تحتانی مقطع (D_c/h_{hol}) در محدوده $0/26$ الی $0/27$ قرار دارد.
- رابطه پارامتر ارتفاع مؤثر سوراخ (D_c/h_{hol}) و مقاومت برشی کمانشی (MN) V_{cr} ، با دقت بسیار خوب به ویژه در مورد بازشو دایره‌ای شکل به صورت خطی می‌باشد؛ که توسط رابطه (۱) بیان شده است.
- مطابق با نتیجه تحلیل و بررسی نمودارها، به دلیل ارتفاع بیشتر بازشوها به ترتیب در مثلث، دایره و مربع دارای سطوح معادل، میزان مقاومت برشی کمانشی V_{cr} نیز تحت تأثیر این پارامتر می‌باشد؛ بنابراین از لحاظ میزان مقاومت برشی کمانشی به ترتیب بازشو مربع، دایره و مثلثی شکل در اولویت قرار دارند.

۷- مراجع

- [1] ANSYS User's Manual Version 12.0.
- [2] Homer, M. and Hadley, S. (1961), "Exploratory Tests on a Steel Delta Girder", Civil Engineering Magazine.
- [3] Homer, M. and Hadley, S. (1964), "The Bridge Delta Girder-Single-Webbed and Double-Webbed", AISC National Engineering Conference, Omaha.
- [۴] عربزاده، ا. و ورمزیاری، م. (۱۳۸۶). "ارزیابی مقاومت پیچشی تیرورق‌های با سخت‌کننده دلتا"، سومین کنگره ملی مهندسی عمران، دانشکده مهندسی عمران، دانشگاه تبریز.
- [۵] عربزاده، ا. و ورمزیاری، م. (۱۳۸۴). "کنترل کماش پیچشی جانی تیرورق‌های فولادی به وسیله سخت‌کننده دلتا"، چهارمین کنگره ملی مهندسی عمران، دانشکده مهندسی عمران، دانشگاه تهران.
- [۶] عربزاده، ا. و کاهه، م. (۱۳۸۴). "رفتار کمانشی یک پانل از تیرورق سخت شده با سخت‌کننده دلتا تحت اثر بار خمیشی"، دومین کنگره ملی مهندسی عمران، دانشکده مهندسی عمران، دانشگاه علم و صنعت ایران.
- [۷] قوهستانی، س و شهابیان، ف. (۱۳۸۸). "تحلیل اثر بازشوی مدور در مقاومت برشی تیرورق‌های فولادی"، تشریه علمی و پژوهشی سازه و فولاد، سال پنجم، شماره پنجم، ص. ۶۴-۷۲.

